

УДК 621.373 : 535

## МОДЫ КОЛЬЦЕВОГО РЕЗОНАТОРА С ДОПОЛНИТЕЛЬНЫМ ВОЗВРАТНЫМ ЗЕРКАЛОМ

*Н. Д. Миловский и Л. Л. Попова*

Изучаются характеристики резонатора, используемого в качестве элемента кольцевого лазера. Найдены моды кольцевого резонатора, имеющего дополнительное возвратное зеркало. Исследованы структура мод и зависимости комплексных частот от параметров резонатора. Определены значения параметров, при которых соответствующий кольцевой лазер будет работать в режиме, близком к режиму бегущей волны.

За последнее время появилось большое число работ, посвященных экспериментальному исследованию твердотельных кольцевых лазеров [1-3]. Установлено, что такие кольцевые лазеры характеризуются наличием нескольких режимов генерации. Существование того или иного режима генерации зависит от настройки резонатора и от величины связи встречных волн из-за обратного рассеяния. Например, в работе [2] проведено исследование режима генерации от величины связи между волнами в кольцевом лазере с дополнительным возвратным зеркалом. Рассматривались режимы работы лазера при слабой связи между встречными волнами и сильной связи (из-за отражений от торцов активного элемента). Установлено, что при сильной связи подавление одной из волн не наблюдалось: лазер работал в режиме двух встречных волн с одинаковыми амплитудами. При слабой связи обнаружено сильное (более чем в 50 раз) подавление одной из волн, так что генерация практически оказывалась односторонней. Установлена высокая чувствительность режимов генерации к положению дополнительного возвратного зеркала.

В свете упомянутых экспериментальных результатов представляется целесообразным обобщить изложенную в работах [4, 5] теорию кольцевых резонаторов на случай немалого обратного рассеяния, исследовать характеристики мод таких резонаторов при возможных изменениях положения возвратного зеркала и, в частности, найти структуры мод, которые позволяют получить полное представление о коэффициенте бегущей волны (КБВ) не в одном, как это было в ранее опубликованных работах, а во всех сечениях резонансной полости.

Схема-модель кольцевого резонатора с дополнительным возвратным зеркалом изображена на рис. 1, a. В этой схеме расположенная внутри резонатора плоскопараллельная непоглощающая пластинка ( $\tilde{R}_0$ ), ориентированная перпендикулярно направлению распространения луча, моделирует слабое обратное рассеяние основной волны в резонаторе каким-либо объектом. Конечная прозрачность второго зеркала ( $t_0^2 = 1 - r_0^2 \neq 0$ ) позволяет учесть все не связанные с излучением через основное зеркало ( $\tilde{r}$ ) потери резонатора, включая диссиацию поля в свободном от активной среды объеме. Для простоты предполагается также, что комплексные коэффициенты отражения  $\tilde{r}_j$  от зеркал и прохождения  $\tilde{t}_j$  сквозь зеркала по полю удовлетворяют соотношениям

$$\left. \begin{aligned} \tilde{r}_j + 1 &= \tilde{t}_j, \quad \varphi_{r_j} = \varphi_{t_j} + \frac{\pi}{2}, \\ \tilde{r}_j \tilde{r}_j^* + \tilde{t}_j \tilde{t}_j^* &= 1 = r_j^2 + t_j^2, \end{aligned} \right\} \quad (1)$$

которые корректны при изменении параметра  $r_j^2$  в пределах  $0 < r_j^2 < 1$ <sup>1</sup> и которые означают, что в зеркалах не происходит диссипации энергии.

Найдем в одномерном приближении [4, 5] моды кольцевого резонатора, рассмотрев свободные колебания электромагнитного поля в ограниченной части пространства, заключенной между зеркалами 1—4. Пространственная структура поля в резонаторе с рассеивающей неоднородностью ( $\tilde{R}_0 \neq 0$ ) может быть представлена [7, 8] в виде суперпозиции двух бегущих на встречу волн

$$E_q(z, t) = \operatorname{Re} \{ [\tilde{\mathcal{E}}_q \exp(-i\tilde{k}_q z) + \tilde{e}_q \exp(i\tilde{k}_q z)] \exp(i\tilde{\omega}_q t) \} \quad (2)$$

разных интенсивностей<sup>2</sup>  $|\tilde{\mathcal{E}}_q|^2$  и  $|\tilde{e}_q|^2$  с комплексной частотой  $\tilde{\omega}_q = \omega'_q + i\omega''_q$  и комплексным волновым числом

$$\tilde{k}_q = k'_q + ik''_q = (\omega'_q + i\omega''_q) \sqrt{\epsilon\mu} c^{-1}. \quad (3)$$

Собственные частоты  $\omega_q(k_q)$  и отношение амплитуд  $\tilde{\mathcal{E}}_q/\tilde{e}_q$  определяются из характеристического уравнения.

С целью получения характеристического уравнения запишем систему уравнений, связывающую комплексные амплитуды полей в различных сечениях резонатора (рис. 1, a)

$$\begin{aligned} \tilde{\mathcal{E}}_1 &= \tilde{\mathcal{E}} \tilde{r}_0 \exp[-i\tilde{k}(l_1 + l_2)], & \tilde{e} &= \tilde{e}_1 \tilde{r}_0 \exp[-i\tilde{k}(l_1 + l_2)], \\ \tilde{\mathcal{E}}_2 &= \tilde{\mathcal{E}}_1 \tilde{T}_0 + \tilde{e}_2 \tilde{R}_0, & \tilde{e}_3 &= \tilde{e} \exp(-i\tilde{k}l_4), \\ \tilde{\mathcal{E}}_3 &= \tilde{\mathcal{E}}_2 \tilde{r} \exp(-i\tilde{k}l_3) + \tilde{e}_3 \tilde{t}^2 \tilde{R} \exp(-i2\tilde{k}d), & \tilde{e}_2 &= \tilde{e}_3 \tilde{r} \exp(-i\tilde{k}l_3), \\ \tilde{\mathcal{E}} &= \tilde{\mathcal{E}}_3 \exp(-i\tilde{k}l_4), & \tilde{e}_1 &= \tilde{\mathcal{E}}_1 \tilde{r}_0 + \tilde{e}_2 \tilde{T}_0, \end{aligned} \quad (4)$$

где  $\tilde{r}$ ,  $\tilde{r}_0$ ,  $\tilde{R}$ ,  $\tilde{t}$ ,  $\tilde{R}_0$ ,  $\tilde{T}_0$  — комплексные коэффициенты отражения и пропускания по полю зеркал и пластиинки соответственно;  $d$  — расстояние от дополнительного возвратного зеркала 4 до выходного 1.

Из системы уравнений (4) можно получить два уравнения для комплексных амплитуд полей прямой  $\tilde{\mathcal{E}}$  и встречной  $\tilde{e}$  волн в произвольном поперечном сечении резонатора  $\Sigma$

$$\left. \begin{aligned} \tilde{\mathcal{E}} \{ -\tilde{r}_0^2 \tilde{R}_0 \exp[-i2\tilde{k}(l_1 + l_2)] + \tilde{e} [1 - \tilde{r}\tilde{r}_0 \tilde{T}_0 \exp(-i\tilde{k}L)] \} &= 0, \\ \tilde{e} \{ [1 - \tilde{r}_0 \tilde{T}_0 \exp(-i\tilde{k}L)] - \tilde{e} \{ i^2 \tilde{R} \exp[-i2\tilde{k}(l_4 + d)] + \\ &+ \tilde{r}^2 \tilde{R}_0 \exp[-i2\tilde{k}(l_3 + l_4)] \} \} &= 0, \end{aligned} \right\} \quad (5)$$

где  $L$  — периметр кольцевого резонатора по оптическому пути генерирующего светового луча.

Из условия нетривиальности решения системы (5) с учетом (1) получим характеристическое уравнение

$$[\exp(i\Phi) - rr_0 T_0 \sqrt{g_0}]^2 = -r_0^2 R_0 g_0 (r^2 R_0 + t^2 R \exp[i\psi - 2k''(l_3 - d)]), \quad (6)$$

в котором через  $\Phi$ ,  $\psi$ ,  $g_0$  обозначены выражения

$$\Phi = k'L - \varphi_r - \varphi_{r_0} - \varphi_{T_0}; \quad \psi = 2k'(l_3 - d) + \varphi_R - \varphi_{R_0} - \pi; \quad \sqrt{g_0} = \exp k''L, \quad (7)$$

а  $k'$  и  $k''$  — действительная и мнимая части комплексного волнового числа (3).

Можно показать, что трансцендентное относительно  $k = k' + ik''$  уравнение (6) при каждом фиксированном наборе параметров резонатора имеет две ветви (две бесконечные последовательности) решений. Каждому решению отвечает вполне определенная мода резонатора, имеющая собственную частоту  $\omega_q'$ , добротность  $Q_q = \omega_q'/2\omega''_q = k'_q/2k''_q$  и индивидуальную структуру поля. Внутри одной последовательности два

<sup>1</sup> Аналогичные связи имеют место между элементами матрицы рассеяния восьмиполюсника без диссипации [6].

<sup>2</sup> Аналогичные результаты получены в работах [9–12] о кольцевых резонаторах СВЧ диапазона.

соседних типа колебаний имеют близкие пространственные структуры, отличающиеся лишь числом вариаций поля вдоль продольной оси ( $q$ ). Пространственные структуры мод, комплексные собственные частоты которых принадлежат к разным ветвям решений уравнения (6), могут сильно отличаться друг от друга.

Этот результат можно объяснить, если сложный кольцевой резонатор (рис. 1, а) рассматривать как систему двух связанных резонаторов: один из резонаторов образован отражающими поверхностями  $\tilde{R}$ ,  $\tilde{r}_0$ ,  $\tilde{R}_0$  (рис. 1, б), а второй — отражающими поверхностями  $\tilde{r}$ ,  $\tilde{r}_0$ ,  $\tilde{R}_0$  (рис. 1, в). Связь между этими парциальными распределенными колебательными резонансными системами осуществляется через посредство полупрозрачного выходного зеркала. Величина связи определяется не только прозрачностью этого зеркала, но и величиной перекрытия объемов резонансных полостей, изображенных на рис. 1, б и в резонаторах, наличием в перекрывающихся объемах участков с поглощающей (или усиливющей) средой и т. д. Как известно из радиотехники [13], аналогичная связь между двумя колебательными контурами приводит к смещению нормальных частот колебаний относительно парциальных частот каждой резонансной системы и к изменению коэффициентов затухания. Подобный, но более сложный эффект наблюдается в изучаемом резонаторе, представляющем собой две связанные многомодовые системы.

Из изложенного выше следует, что наличие в сложном резонаторе распределенных в полости потерь (или усиления), изменения величину коэффициента связи (парциальных резонансных полостей друг с другом), заметно изменяет собственные частоты нормальных мод.<sup>3</sup> Наличие участка с поглощающей (или усиливающей) средой внутри перекрывающихся объемов парциальных резонаторов приведет к несколько иному изменению комплексных нормальных частот мод сложного резонатора по сравнению с тем изменением этих частот, которое имело бы место при наличии такого же поглощения (или усиления) в резонансной полости одного из парциальных резонаторов вне области перекрытия.

Имея в виду возможность использования таких резонаторов в лазерных системах, необходимо остановиться на исследовании характеристического уравнения резонатора, в одном из плеч которого находится слой ( $l$ ) активного вещества с такой диэлектрической проницаемостью  $\epsilon_k = 1 - i\epsilon''$ , что усиление на толщине слоя в точности компенсирует ослабление поля из-за потерь в остальной части резонатора. Собственные частоты такого резонатора будут совпадать с собственными частотами находящегося на пороге самовозбуждения лазера, в идеализированной модели которого пренебрегается влиянием формы линии люминесценции на коэффициент

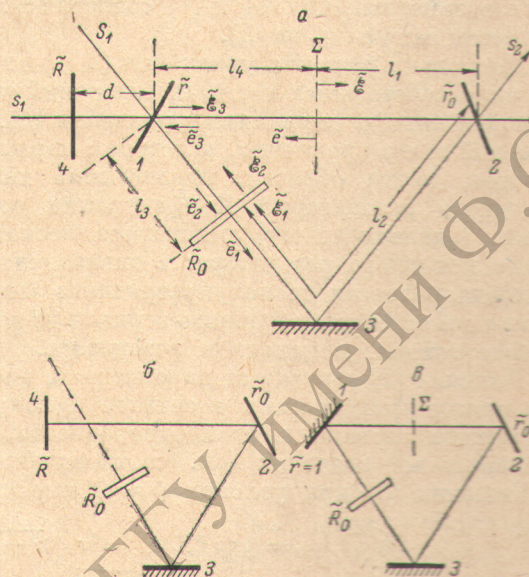


Рис. 1. Кольцевой резонатор с дополнительным возвратным зеркалом.

<sup>3</sup> Для сравнения в простом резонаторе появление участка с поглощающей средой изменяет лишь коэффициенты затухания, но не собственные частоты мод холодного резонатора.

усиления активной среды. Характеристическое уравнение находящегося на пороге самовозбуждения лазера в соответствии с вышеизложенным будет зависеть от положения активного вещества внутри сложного (связанного) резонатора и в общем случае не будет совпадать с характеристическим уравнением холодного резонатора (6). В частности, характеристическое уравнение для лазера, в котором слой активного вещества расположен в плече резонатора, где находится сечение  $\Sigma$ , а рассеивающая неоднородность — за этим сечением (рис. 1, a), можно представить в виде

$$[\exp(i\Phi) - rr_0 T_0 \sqrt{\tilde{g}_0}]^2 = -r_0^2 R_0 \tilde{g}_0 [r^2 R_0 + t^2 R \exp(i\psi)]. \quad (8)$$

Символом  $\tilde{g}_0$  в (8) обозначен коэффициент усиления активного слоя по мощности по отношению к бесконечно слабому входному полю. Нетрудно заметить, что (6) и (8) совпадают лишь в случае  $k''(l_3 - d) = 0$  (с учетом замены  $g_0$  на  $\tilde{g}_0$ ).

Поскольку решения уравнения (8) дают гораздо более полную информацию о собственных частотах генераций и потерях в резонаторе лазера по сравнению с решениями уравнения (6), то ниже займемся анализом решений этого уравнения, в котором параметр  $\tilde{g}_0$  заменен на  $g_0 = l^2 k'' l$  и которое, таким образом, играет роль характеристического уравнения холодного резонатора.<sup>4</sup> Конфигурация соответствующего этому уравнению (эквивалентного) резонатора несколько отличается от конфигурации исходного резонатора: в эквивалентном разонаторе расстояние  $l_3$  от неоднородности до полупрозрачного зеркала должно быть равно расстоянию  $d$  от полупрозрачного зеркала до возвратного, что не имеет места, вообще говоря, в исходном резонаторе.

Решения (8) зависят от параметра  $\phi$ , представляющего собой разность фаз между приходящими в сечение  $\Sigma$  волнами, которые отражаются от возвратного зеркала и от неоднородности, причем  $\phi$  может принимать произвольные значения (см. соотношения (7)).

Решения (8) при условии  $\phi = 0$  имеют вид

$$\left. \begin{aligned} [(\sqrt{g_0})_q]_{1,2} &= (\exp k_q L)_{1,2} = \{r_0 \sqrt{r^2 + (1 - r^2) RR_0}\}^{-1}, \\ (\Phi_q)_{1,2} &= 2\pi q \pm \arg \cos \left[ \frac{r \sqrt{1 - R_0^2}}{\sqrt{r^2 + (1 - r^2) RR_0}} \right] = (k'_q L)_{1,2} - \varphi_r - \varphi_{r_0} - \varphi_{T_0}. \end{aligned} \right\} \quad (9)$$

Двум значениям знака перед  $\arg \cos[r \sqrt{1 - R_0^2}/\sqrt{r^2 + (1 - r^2) RR_0}]$  и разным значениям натурального числа  $q = 1, 2, 3, 4, \dots$  соответствуют разные собственные частоты  $\omega'_q$  и одинаковые коэффициенты затухания  $\omega''_q = k'_q v_\phi$ , которые, таким образом, составляют две бесконечные последовательности.

Из выражения (9) следует, что при стремлении к нулю коэффициента  $R_0^2$  аргумент функции  $\arg \cos[r \sqrt{1 - R_0^2}/\sqrt{r^2 + (1 - r^2) RR_0}]$  стремится к единице и две бесконечные последовательности мод сливаются, образуя единую последовательность. При этом связанный резонатор превращается в ординарный, образованный отражающими поверхностями  $\tilde{R}$ ,  $\tilde{r}$ ,  $\tilde{r}_0$ . В этом случае линейная однородная система уравнений для  $\tilde{\mathcal{E}}_q$ ,  $\tilde{e}_q$  имеет нетрициональное решение

$$\tilde{e}_q = 0, \quad \tilde{\mathcal{E}}_q \neq 0, \quad (10)$$

которому соответствует мода холодного резонатора, имеющая вид бегущей в  $+z$ -направлении (рис. 1, a) волны

$$E_q(z, t) = \operatorname{Re} \{ \tilde{\mathcal{E}}_q \exp(i\tilde{\omega}_q t - i\tilde{k}_q z) \} \quad (11)$$

<sup>4</sup> Для случая, когда слой активного вещества расположен после рассеивающей неоднородности (вне области перекрытия объемов парциальных резонаторов), уравнения, аналогичные уравнениям (6) и (8), имеют несколько иной вид и могут быть проанализированы с помощью сформулированного выше подхода.

с комплексной частотой  $\tilde{\omega}_q = \omega'_q + i\omega''_q$  и соответственно комплексным волновым числом<sup>5</sup>

$$\tilde{k}_q = \frac{\tilde{\omega}_q}{v_\phi} = \frac{\omega'_q + i\omega''_q}{c} \sqrt{\epsilon \mu} = \frac{(2\pi q + \varphi_r + \varphi_{r_0}) + i \ln(rr_0)^{-1}}{L}.$$

Интенсивность поля  $|E_q(z, t)|^2$  моды (11) в пространстве между зеркалами экспоненциально растет в направлении перемещения фазы поля (т. е. в  $+z$ -направлении)

$$\overline{E_q(z, t)}^T \sim \exp(2k''_q z), \quad (12)$$

а перепад интенсивности на длине плеча определяется лишь конфигурацией и параметрами резонатора.<sup>6</sup>

Рассмотрим отношение

$$\left| \left( \frac{\tilde{e}_q}{\tilde{\mathcal{E}}_q} \right)_0 \right| = \left\{ (\exp 4k''_q d) (r^2 + t^2 R R_0) \times \right. \\ \left. \times \left( r^2 + t^2 \frac{R}{R_0} \right) \right\}^{-1/2} \quad (13)$$

обратной волны  $(\tilde{e}_q)_0$  и прямой волны  $(\tilde{\mathcal{E}}_q)_0$  в сечении  $z = 0$  в первом плече резонатора, в котором в дальнейшем предполагается поместить активное вещество. Рассчитанные по формуле (13) зависимости отношения  $|(\tilde{e}_q)/\tilde{\mathcal{E}}_q)_0|$  от коэффициента отражения первого зеркала  $r^2$  приведены на рис. 2. Из этого рисунка видно, что отношение  $|(\tilde{e}_q)/\tilde{\mathcal{E}}_q)_0|$  растет при  $r^2 \rightarrow 0$  и при  $r^2 \rightarrow 1$ . Эти результаты представляются очевидными, если учесть, что в обоих предельных случаях рассматриваемый кольцевой резонатор вырождается в одинарный резонатор стоячей волны (рис. 1, б и в). Отношение  $|(\tilde{e}_q)/\tilde{\mathcal{E}}_q)_0|$  имеет минимум при некотором

значении  $r_{\text{opt}}^2$ . Величина  $r_{\text{opt}}^2$  и значение  $|(\tilde{e}_q)/\tilde{\mathcal{E}}_q)_0|$  являются функциями  $R^2$ ,  $R_0^2$  и  $r_0^2$ . При уменьшении  $R_0^2$  величина  $|(\tilde{e}_q)/\tilde{\mathcal{E}}_q)_0|_{\min}$  сильно уменьшается, стремясь к нулю в пределе при  $R_0^2 \rightarrow 0$ .

Из рис. 3, на котором изображены структуры (одномерные) мод кольцевого резонатора, следует, что для  $(R_0^2)_{1,2} = 10^{-3}, 10^{-4}$  КБВ =  $\sqrt{I_i/\Pi_i}$  в любом сечении резонатора превышает в первом случае величину 0.56, а во втором = 0.70. Это позволяет предполагать, что генерируемое реальным лазером (имеющим резонатор с аналогичными характеристиками) излучение будет в значительной степени односторонним: коэффициент

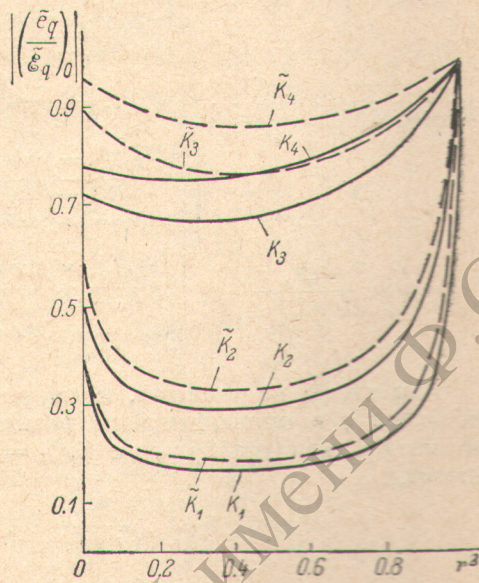


Рис. 2. Зависимости отношения амплитуд встречных волн  $|(\tilde{e}_q)/\tilde{\mathcal{E}}_q|_0$  от коэффициента отражения первого зеркала  $r^2$ .

Кривыми  $K_i$  и  $\tilde{K}_i$  изображены зависимости, рассчитанные на ЭВМ для следующих значений параметров:  $\phi = 0$ ,  $r_0^2 = 0.90$ ,  $(R_0^2)_i = 10^{-4}, 10^{-3}, 5 \cdot 10^{-2}, 10^{-1}$ , где  $i = 1, 2, 3, 4$  соответственно. Параметр  $R^2$  принимает два значения: штриховые кривые  $\tilde{K}_i$  рассчитаны для случая  $R^2 = 0.60$ , а сплошные  $K_i$  — для случая  $R^2 = 0.90$ .

<sup>5</sup> Мода (11) является затухающим во времени колебанием, которое не следует путать, например, с бегущей в кольцевом интерферометре волной, имеющей действительную частоту  $\omega$ .

<sup>6</sup> Необходимо отметить, что распределение поля (11), (12) оказывается близким к тому, которое может быть в лазере бегущей волны при условии равномерного распределения активного вещества по объему кольцевой полости. Как следует из [14], на пороге генерации внутреннее поле такого лазера асимптотически совпадает с (11), (12), а достаточно далеко от порога самовозбуждения интенсивность внутреннего поля растет в  $+z$ -направлении примерно по линейному закону (не экспоненциальному).

подавления встречной волны в первом случае ожидается не хуже 12, а во втором — не хуже 32.<sup>7</sup>

Решения уравнения (8) в случае  $\phi = \pi$  приведены в таблице.

<i>A</i>	$[(\sqrt{g_0})_{q1,2} = (\exp k_p^q L)_{1,2} = \{r_0 \sqrt{r^2 - (1 - r^2) RR_0}\}^{-1}$
$1 \geq r^2 \geq \frac{R}{R + R_0}$	$(\Phi_q)_{1,2} = 2\pi q \pm \arccos \left[ \frac{r T_0}{\sqrt{r^2 - (1 - r^2) RR_0}} \right] =$ $= k_q^q L)_{1,2} - \varphi_r - \varphi_{r_0} - \varphi_{T_0}$ .
<i>B</i>	$[(\sqrt{g_0})_{q1,2} = (\exp k_q^q L)_{1,2} = \{r_0 [r T_0 \pm \sqrt{RR_0 - r^2 R_0 (R + R_0)}]\}^{-1}$
$\frac{R}{R + R_0} \geq r^2 \geq \frac{RR_0}{1 + RR_0}$	$(\Phi_q)_{1,2} = 2\pi q = (k'_q L)_{1,2} - \varphi_r - \varphi_{r_0} - \varphi_{T_0}$ ,
<i>C</i>	$[(\sqrt{g_0})_{q1} = (\exp k_q^q L)_1 = \{r_0 [r T_0 + \sqrt{RR_0 - r^2 R_0 (R + R_0)}]\}^{-1}$ , $(\Phi_q)_1 = 2\pi q = (k'_q L)_1 - \varphi_r - \varphi_{r_0} - \varphi_{T_0}$ ,
$0 \leq r^2 \leq \frac{RR_0}{1 + RR_0}$	$[(\sqrt{g_0})_{q2} = (\exp k_q^q L)_2 = \{r_0 [-r T_0 + \sqrt{RR_0 - r^2 R_0 (R + R_0)}]\}^{-1}$ , $(\Phi_q)_2 = \pi + 2\pi q = (k'_q L)_2 - \varphi_r - \varphi_{r_0} - \varphi_{T_0}$ .

Как видно из таблицы, в случае *A* моды, обладающие одинаковым индексом  $q$  и принадлежащие разным последовательностям, вырождены по коэффициенту затухания  $(\omega'_q)_1 = (\omega'_q)_2$  и имеют разные собственные частоты

$$(\omega'_q)_1 - (\omega'_q)_2 = \frac{2c}{L} \arccos \left[ \frac{r \sqrt{1 - R_0^2}}{\sqrt{r^2 - (1 - r^2) RR_0}} \right]. \quad (14)$$

В точке  $r^2 = R/(R + R_0)$  моды первой и второй последовательностей становятся неразличимыми, так как они обладают одинаковыми комплексными частотами, и, следовательно, одинаковыми пространственными структурами. В случае *A* добротности мод холодного резонатора оказываются меньшими, чем добротности мод при  $\phi = 0$ .<sup>8</sup> Это означает, что при изменении  $\phi$  от 0 до  $\pi$  растут потери на связь резонатора с внешним пространством.

В области *B* моды одного индекса  $q$ , относящиеся к разным последовательностям, оказываются вырожденными по частоте  $(\omega'_q)_1 = (\omega'_q)_2$  и имеющими различные добротности. Различие в добротностях мод увеличивается при увеличении связи между изображенными на рис. 1, б и в ординарными резонаторами ( $r^2 \rightarrow 0$ ), которые составляют исследуемый кольцевой резонатор. При уменьшении  $r^2$  коэффициенты затухания  $(\omega''_q)_2$  (и, следовательно, полосы) мод, второй малодобротной последовательности могут

<sup>7</sup> Можно с достаточной долей уверенности предполагать, что распределение поля моды холодного резонатора будет близким к тому, которое имеет место в реальном лазере на пороге генерации при условии достаточно равномерного заполнения резонатора активной средой. Основанием для такого предположения может служить сравнение теоретически рассчитанной (в одномерном приближении) структуры моды, которая генерируется лазером с ординарным двухзеркальным резонатором, равномерно заполненным активной средой [15], и структуры моды холодного двухзеркального резонатора, которую нетрудно найти, используя изложенный выше подход. Поэтому можно ожидать, что для создания лазера бегущей волны необходимо иметь моду холодного резонатора, которая в одном из плеч (в этом плече помещается активное вещество) имеет КВВ, близкий к единице.

<sup>8</sup> Потери на излучение резонатора в случае  $\phi = 0$  меньше, чем потери резонатора без рассеивающей неоднородности. Это уменьшение потерь на связь с внешним пространством, происходящее при появлении обратного рассеяния  $R_0^2$  в случае  $\phi = 0$ , эквивалентно уменьшению прозрачности выходного зеркала

$$1 - r_{\text{зкв.}}^2 = (1 - r^2)(1 - RR_0) < (1 - r^2).$$

стать сколь угодно большими (при  $r^2 \rightarrow RR_0/(1+RR_0)$ ) добротности мод второй последовательности стремятся к нулю, при этом теряется физический смысл второго решения).

В области  $C$  моды первой и второй последовательностей отличаются как по частоте, так и по коэффициенту затухания. Добротности мод второй последовательности во всем диапазоне изменения  $r^2$  малы по сравнению с добротностями соответствующих мод первой. В некоторой части диапазона изменения  $r^2$  добротности мод второй последовательности могут оказаться столь малыми, что резонансные свойства у соответствующих типов колебаний можно считать практически отсутствующими.

В случае  $\psi = \pi$  при прочих равных условиях величина  $|(\tilde{e}_q/\tilde{\mathcal{E}}_q)_0|$  всегда больше, чем в случае  $\psi = 0$ . Для мод второй последовательности и для некоторого диапазона значений  $r^2$  для мод первой последователь-

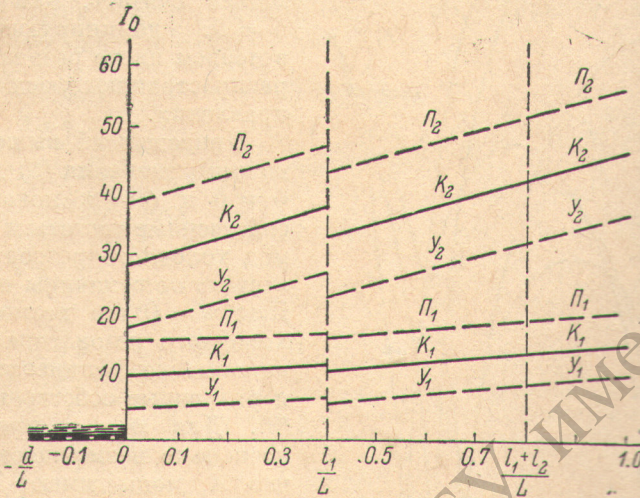


Рис. 3. Одномерные структуры мод холодного резонатора, имеющего параметры:  $\psi=0$ ,  $r_0^2=0.90$ ,  $R^2=0.80$ ,  $r^2=0.60$ ,  $(R_0^2)_{1,2}=10^{-3}$ ,  $10^{-4}$  соответственно.

Полосы ординат отложено отношение средней интенсивности, нормированной на интенсивность встречной волны  $I_0$ , по оси абсцисс — нормированная координата резонатора  $z/L$  отсчитываемая от первого зеркала  $\tau$ . Для определенности расстояния между зеркалами резонатора выбраны следующими:  $l_1/L=l_2/L=2l_1/L=2d/L=0.40$ . Сплошными линиями  $K_{1,2}$  представлены значения средней интенсивности, штриховыми кривыми  $\Pi_{1,2}$ ,  $Y_{1,2}$  — интенсивности в пучностях и узлах поля соответственно.

ности это отношение может оказаться большим единицы, так что в некоторых случаях можно говорить о подавлении прямой волны (рис. 4). Сравнение сплошных кривых  $K_i$  рис. 4 и кривых рис. 2 свидетельствует о том, что доля встречного поля в полном поле растет с ростом  $\phi$ . Сопоставляя сплошные и штриховые кривые рис. 4, можно видеть, что в большей части диапазона изменения  $r^2$  в первом плече кольцевого резонатора доля встречного поля в полном поле мод второй последовательности значительно превышает соответствующую долю в поле мод первой последовательности. В случае  $A$  сплошные и штриховые кривые, соответствующие одной фиксированной совокупности параметров резонатора и, следовательно, одному  $k_q''$ , совпадают друг с другом. На границе  $r^2 = R/(R+R_0)$  областей  $A$  и  $B$  отношение  $|(\tilde{\mathcal{E}}_q/\tilde{e}_q)_0|$  обращается в нуль. Это означает, что поле в резонаторе, имеющем параметры  $R$ ,  $R_0$ ,  $\psi = \pi$  и  $r^2 = R/(R+R_0)$ , представляет собой моду в виде бегущей в  $-z$ -направлении волны (причем моды из разных последовательностей абсолютно идентичны). Еще одной особой точкой на рис. 4 можно считать точку  $r^2 = RR_0/(1+RR_0)$ , в которой обращается в нуль отношение  $|(\tilde{\mathcal{E}}_q/\tilde{e}_q)_0|$  для мод второй последовательности. Хотя формально получается, что поле этих мод в резонаторе

с параметрами  $R_0$ ,  $R$ ,  $\phi = \pi$  и  $r^2 = RR_0/(1+RR_0)$  представляет из себя бегущую в  $-z$ -направлении волну, правильнее считать, что такое поле в принципе не реализуется, ибо добротности таких мод равны нулю. В этой связи целесообразно исключить из рассмотрения некоторую область значений вблизи точки  $r^2 = RR_0/(1+RR_0)$ , в которой моды второй последовательности перекрываются друг с другом.

Необходимо отметить, что при уменьшении  $R_0^2$  размеры областей  $A$  и  $C$  быстро уменьшаются, так что при  $R_0^2 = 10^{-4}$  обе эти области совместно составляют около 2% от полной области изменения параметра  $r^2$ . В области  $B$  (которая становится превалирующей по размерам над всеми остальными) отношение  $|(\tilde{\mathcal{E}}_q/\tilde{\mathcal{E}}_{q0})_0|$  становится достаточно большим по сравнению с единицей, так что можно считать, как и в случае  $\phi = 0$ , доминирующую волной в первом плече резонатора волну, распространяющуюся в  $+z$ -направлении.

Приведенный выше анализ решений уравнения (8) для случаев  $\phi = 0$  и  $\phi = \pi$  показывает, что собственные частоты и добротности мод холодного резонатора сильно зависят от величины параметра  $\phi$ . Для  $\phi = 0$  все возможные моды холодного резонатора имеют одинаковые коэффициенты затухания и различные собственные частоты (9). Для  $\phi = \pi$  представляется несколько возможностей — в случае  $A$  моды имеют одинаковые добротности и различные собственные частоты, в случае  $B$  моды вырождены по частоте, но добротности их различны, и, наконец, в случае  $C$  моды отличаются как по частоте, так и по коэффициенту затухания. Однако значения собственных частот и коэффициентов затухания для всех перечисленных случаев при  $\phi = \pi$  отличаются от аналогичных значений при  $\phi = 0$ .

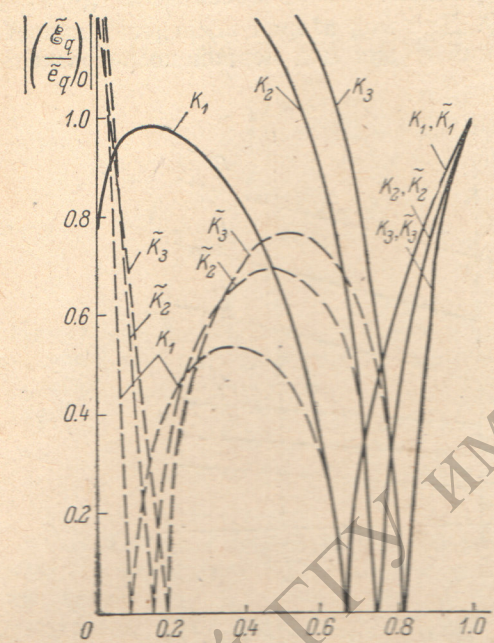


Рис. 4. Зависимости отношения амплитуд встречных волн от коэффициента отражения первого зеркала  $r^2$ .

Кривыми  $K_i$  и  $\tilde{K}_i$  изображены зависимости для мод первой и второй последовательностей соответственно, рассчитанные на ЭВМ для следующих значений параметров:  $\phi = \pi$ ,  $r_0^2 = 0.90$ ,  $R_0^2 = 0.05$ ,  $R_i^2 = 0.20, 0.60, 1.00$ , где  $i = 1, 2, 3$ .

Это дает основание предполагать, что изменение добротностей и частот мод резонатора, связанных с флуктуациями параметра  $\phi$ , приведет к изменению мощности и частоты излучения лазера. Причем можно ожидать, что в некоторых случаях частота генерации лазера может изменяться скачкообразно. Эти выводы подтверждаются экспериментальными работами [1-3], в которых при установке в кольцевой резонатор возвратного зеркала наблюдалось изменение кинетики излучения от стационарной к пичковой и расширение спектра генерации лазера.

В заключение сформулируем основные результаты работы.

1. Изучаемый сложный кольцевой резонатор представляется в виде системы двух связанных резонаторов.

2. Собственными типами колебаний такого резонатора являются две бесконечные последовательности мод. Две моды, обладающие одинаковым индексом  $q$  и принадлежащие разным последовательностям, могут отличаться друг от друга либо величиной коэффициента затухания (оказываются вырожденными по частоте), либо значениями собственных частот (имеют одинаковые коэффициенты затухания).

3. Собственные частоты и добротности мод сильно зависят от положения объекта обратного рассеяния в резонаторе (величины  $\phi$ ) и от величины рассеяния от этого объекта ( $R_0^2$ ). В некоторых случаях малое изменение  $\phi$  может вызвать значительное изменение добротностей и частот мод.

4. Наибольший КБВ поля в резонаторе ожидается при следующих значениях параметров:  $r_0^2 \approx 1$ ,  $R^2 \approx 1$ ,  $\phi = 0$ ,  $r^2 \approx 0.4$ .

5. При больших  $R_0^2$ ,  $\phi = \pi$ ,  $r^2 = R/(R+R_0)$  возможен режим «чисто» бегущей волны, при котором поле в резонаторе представляет собой моду в виде бегущей в  $-z$ -направлении волны.

Целесообразно также обратить внимание на существование аналогии между рассматриваемым кольцевым резонатором оптического диапазона и известными кольцевыми резонаторами СВЧ диапазона.

Авторы выражают благодарность В. И. Таланову за постоянный интерес и внимание к работе.

#### Литература

- [1] Е. Л. Клоchan, Л. С. Корниенко, Н. В. Кравцов, Е. Г. Ларионцев, А. Н. Шелаев. ЖЭТФ, 65, 1344, 1973; ДАН СССР, 215, 313, 1974; Радиотехника и электроника, 19, 2096, 1974.
- [2] Л. С. Корниенко, Н. В. Кравцов, А. Н. Шелаев. Опт. и спектр., 35, 775, 1973.
- [3] А. А. Мак, В. И. Устюгов, В. А. Фромзель, М. М. Халеев. ЖТФ, 44, 868, 1974.
- [4] В. Ю. Петрунькин, Н. А. Есепкина, С. В. Кружалов, Л. Н. Пахомов, В. А. Чернов. Радиотехника и электроника, 12, 146 1967.
- [5] Ю. М. Голубев, В. Е. Привалов, С. А. Фридрихов. Опт. и спектр., 27, 519, 1969.
- [6] Теория линий передачи сверхвысоких частот. «Советское радио», 2, М., 1951.
- [7] Б. Д. Желнов, А. П. Казанцев, В. С. Смирнов. ФТТ, 7, 2816, 1965.
- [8] В. Н. Морозов. ФТТ, 8, 2256, 1956.
- [9] F. J. Tischer. IRE Trans., MTT-5, 51, 1957.
- [10] K. Tomiyasu. IRE Trans., MTT-5, 267, 1957.
- [11] L. Milosevic. IRE Trans., MTT-6, 136, 1958.
- [12] I. Twisleton. J. R. G. Proc. IEEE, 107B, 108, 1960.
- [13] Л. И. Мандельштам. Лекции по теории колебаний. М., 1972.
- [14] Н. Д. Миловский. Автореф. канд. дисс., Горький, 1973.
- [15] Л. А. Островский, Е. И. Якубович. ЖЭТФ, 46, 963, 1964.

Поступило в Редакцию 20 октября 1975 г.  
В окончательной редакции 7 мая 1976 г.